

зволяет измерять время жизни возбуждённого уровня и дипольный момент перехода.

Затухание свободной поляризации наблюдается в виде излучения, испускаемого атомами (молекулами) среды после их возбуждения коротким импульсом резонансного излучения. Оптич. импульс наводит в ансамбле частиц макроскопич. поляризацию (суммарный дипольный момент всех возбуждённых светом частиц), благодаря чему и после окончания импульса возбуждённые частицы продолжают испускать излучение частоты, резонансной частоте перехода. Вследствие дефазировки колебаний от диполей (в газе — вследствие поступательного движения частиц, т. е. доплеровской дефазировки) происходит затухание макроскопич. поляризации. Этот эффект наблюдается и при любом ступенчатом переключении резонансного оптич. излучения (обычно он происходит одновременно с оптич. пульсацией в течение первого периода пульсаций) и используется в спектроскопии высокого разрешения.

Простейший вариант оптич. эхо-спектроскопии (спектроскопия на основе светового эха) реализуется при наблюдении зависимости амплитуды сигнала светового эха от времени задержки ал.-магн. излучения, резонансно взаимодействующего с ансамблем частиц среды. Сигнал светового эха появляется после 2-го импульса через время, равное задержке 2-го импульса относительно 1-го. Оптич. эхо есть, по существу, повторное возникновение эффекта затухания свободной поляризации, к-рое сопровождает 1-й импульс. 2-й импульс нужен для того, чтобы восстановить одинаковую фазу возбуждённых 1-м импульсом атомных диполей, потерянную в моменте прихода 2-го импульса вследствие процессов релаксации. Для регистрации оптич. эха площадь 1-го импульса (интеграл от амплитуды напряжённости оптич. поля по всей длительности импульса, умноженный на дипольный момент перехода  $d_{12}$ ) должна быть равна  $\pi/2$ , второго —  $\pi$ . Спектроскопия светового эха — один из наиб. мощных инструментов изучения столкновительных релаксаций процессов в газах. Время затухания сигнала светового эха равно эффективному времени жизни возбуждённого уровня, определяемого атомными (молекулярными) столкновениями и спонтанным излучением. Методами спектроскопии светового эха измеряют также сверхтонкую структуру возбуждённых состояний.

Помимо описанного метода двухимпульсного эха находят применение спектроскопия вынужденного (трёхимпульсного) эха и спектроскопия цуга эха типа Карра — Парселла.

**Когерентная спектроскопия комбинационного рассеяния** (стационарная и нестационарная; см. Активная лазерная спектроскопия) позволяет измерять времена релаксации, изучать процессы внутри- и межатомного переноса энергии возбуждения для трёх- и более уровневых систем (рис. 5).

Спектроскопия трёх- и четырёхвольнового смешения — один из наиб. распространённых методов Н. с. — представляет собой варианты когерентной активной лазерной спектроскопии поглощения и (или) рассеяния света. В этих методах регистрируется частотная зависимость интенсивности (поляризации, фазы) световой волны, генерируемой в исследуемой среде за счёт трёх- или четырёхвольнового смешения (с участием нелинейной восприимчивости 2-го и 3-го порядков соответственно), т. е. за счёт нелинейных оптич. процессов, при к-рых

$$\omega_c = \omega_1 \pm \omega_2 \quad (1)$$

или

$$\omega_c = \omega_1 \pm \omega_2 \pm \omega_3 \quad (2)$$

где  $\omega_c$  — частота регистрируемой волны сигнала,  $\omega_1$ ,  $\omega_2$ ,  $\omega_3$  — частоты лазерных волн накачки, вводимых в исследуемую среду извне.

Частотная зависимость исследуемого параметра волны сигнала смешения испытывает резонансное изменение,

когда частота одной или неск. волн накачки либо к.-л. их линейная комбинация ( $\omega_1 \pm \omega_2$ ;  $\omega_1 \pm \omega_3$ ;  $\omega_2 \pm \omega_3$  и т. п.) совпадает с частотой соответствующего разрешённого правилами отбора перехода в исследуемой системе. Для получения сигнала достаточно большой интенсивности используют явление синхронной генерации сигнала смешения, когда одновременно с условиями (1) или (2) выполняются условия фазового синхронизма для волновых векторов  $k_c$ ,  $k_1$ ,  $k_2$ ,  $k_3$  взаимодействующих волн:

$$k_c = k_1 \pm k_2 \quad (3)$$

либо

$$k_c = k_1 \pm k_2 \pm k_3. \quad (4)$$

В центросимметричных средах, обладающих макроскопич. центром инверсии (газы, жидкости и плазма в отсутствие внеш. воздействий, стекло, аморфные твёрдые тела, кристаллы определ. классов), квадратичные процессы при трёхвольновом смешении запрещены. Поэтому наиб. универсальная спектроскопия четырёхвольнового смешения. Она обладает высоким спектральным разрешением, определяемым только шириной

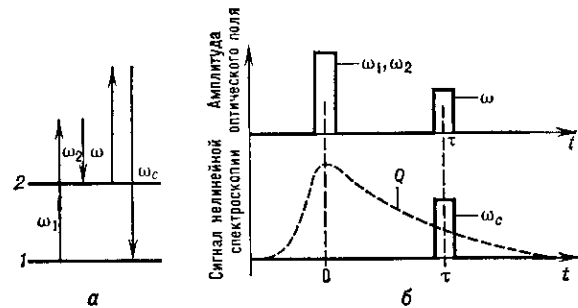


Рис. 5. Когерентная активная спектроскопия комбинационного рассеяния: а — квантовые переходы; б — временной ход процессов нестационарной когерентной спектроскопии комбинационного рассеяния. Сигнал с частотой  $\omega_c = \omega + (\omega_c - \omega)$  регистрируется спустя время задержки  $\tau$  (переменное) после воздействия двух импульсов лазерной накачки (частоты  $\omega_1$ ,  $\omega_2$ ) (внизу пунктиром показан временной ход амплитуды  $Q$  когерентных молекулярных колебаний, возбуждённых импульсами накачки).

нами спектральных линий с частотами  $\omega_1$ ,  $\omega_2$ ,  $\omega_3$ . Т. к. эти ширины могут быть сделаны предельно малыми, спектральная разрешающая способность  $G$  приборов, используемых в этом методе (типичные значения  $G = \omega/\Delta\omega \sim 10^6 - 10^{11}$ ), на несколько порядков выше, чем для традиц. спектральных приборов или фурье-спектрометров (для них  $G \sim 10^5 - 10^7$ ). При этом область дисперсии для нелинейных спектрометров может быть аномально велика, она определяется шириной области перестройки частоты одного или нескольких перестраиваемых лазеров накачки и может занимать значительную часть видимого спектра. При сочетании спектроскопии четырёхвольнового смешения с Н. с. насыщения удается исключить доплеровское уширение. Пространств. разрешение методов смешения частот определяется размерами области перекрытия всех взаимодействующих пучков.

С помощью методов Н. с. смешения может быть достигнуто очень высокое временное разрешение. Для этого излучение накачки направляют в среду в виде коротких импульсов, синхронизованных с изучаемыми процессами с точностью, не меньшей, чем длительность используемых оптич. импульсов, и вводится переменная, строго контролируемая временная задержка между началом изучаемого процесса и моментом зондирования. В таком случае временное разрешение схемы регистрации определяется длительностью лазерных импульсов, к-рые могут выбираться в пико- и даже в фемтосекундном диапазоне (см. Фемтосекундная